

1. まえがき 流域地形を定量的に把握・表現しようとする計量地形学の分野では、様々な地形量が提案されている。こうした個々の地形量が出水現象に及ぼす効果を明らかにすることは、普遍的な出水理論の確立にとって不可欠な事項の一つであるが、現在のところ、出水ピークに限っても、その効果が不明なものが多い。

本研究は、これらの地形量のうち、Hortonの提案による¹⁾河道網構造を主体とした地形構造のマクロな無次元表示である分岐比、河道長比、集水面積比および河道こう配比(Horton数と総称)をとりあげ、河道網構造が比較的多様であるStrahler流の位数3の流域モデル群(面積およびレリーフ一定)を計量地形学の成果に基づいて設定し、河道プロセスのみを考慮する数値実験法によって出水ピークとHorton数との関係を探ろうとしたものである。

2. 流域モデル群の構成 ①河道網構造: ここで設定した位数3の流域モデル群とは、河道網の構造的にいえば、位数1の河道数 $N_1=10$ の最大位数長 $=3$ となるトポロジー的に異る河道網(¹⁾topologically distinct channel networks, 略してTDCN)のすべてに対応しており、その数は4488である($k=2$ のは256, $k=4$ のは118)。しかし、河道網の構造を流出現象という点から区別する場合、支川が左右どちら側から合流しても同じことだから、トポロジー的には異っていても同一のものとみなせる組(ambilateral class, 略してAC)にまとめることができ、この場合、ACは85種になる。図-1はこの85種のACからそれぞれ任意のものを抽出し、識別のための番号(モデル番号)をついたものであり、番号の右側の数はそのACに属するTDCNの数を示す。 ②link長の均一化: グラフの理論では河道網の構成要素はつぎのようによばれる。合流点はnode、相隣3node間の河道区分はinterior link、位数1の河道はexterior link(単にlinkというときは両者を含む)、およびlinkの連なりをchainといふ。以下この用語に従う。自然流域ではexterior linkとinterior linkの平均長は若干異るとされているが、本モデル群では、すべてのlinkに均一の長さ ℓ を与える。

3)各linkにつく面積の均一化: link長と同様、均一の面積 α を与える。すなわち、本モデル群はすべて等面積 α をもつ。 4)各linkのこう配: Horton数の1つである河道こう配比の効果をも探るために、モデル群にレリーフ $H=1$ という立体的な制約を与えて、各モデルの各linkのこう配をつぎのようにして決定した。ただし、ここでいうレリーフは、流域最下流端(outlet)と、最長のchainの上端との標高差をさす。Shreveによって得られた位数 u の河道がもつlink数の期待値 2^{u-1} にlinkの平均長が位数によらないとする仮定を加えて得られる河道長比の期待値2と、流域が動的平衡状態にあるとき各位数の河道について、その両端の平均的標高差は位数にかかわらず一定であるというYangの法則とを組合せて得られる折線の期待値の河道継断形状に、滑らかな曲線をあてはめ、次式によつて決定した。

$$(A_v)_j = \varphi(v) \cdot (A_1)_j \quad \dots \dots \dots \quad (1) \quad \text{ここに, } \varphi(v) = \ln(\frac{v+1}{v}) / \ln 2, \quad (A_1)_j = (H/\ell) / \sum_{v=1}^u \varphi(v), \quad v \text{はlink番号で, } \text{すべての exterior linkを } v=1 \text{ とし, 順次下流に向} \rightarrow$$

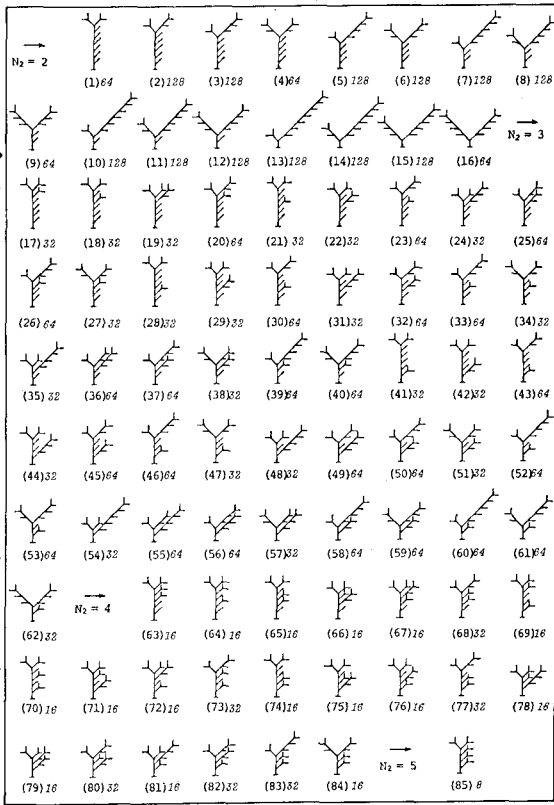


図-1 流域モデル群の河道網構造とモデル番号
(番号の右の数字はTDCNの数)

で $\nu=2, 3, \dots$ とつけるものでつねに大きい方の番号をとる。 j は最長 chain を構成する link 数で、 $(A_p)_j$ は $j=j$ のモデルにおける $\nu=\nu$ の link のこう配、 $\varphi(\nu)$ は上記の滑らかな曲線に相当する。表-1 は(1)式によって求めた $(A_p)_j$ の値を示したものである。

5) 各モデルの Horton 数: 以上のように設定した各モデルの Horton 数は、つきのように単純な相加平均によつて求めた。(a) 分岐比; $R_b = \frac{1}{2} \sum_{u=2}^3 N_{u-1}/N_u$ (N_u : 位数 u の河道数)。この値は本モデル群では 3 種類しかないので、つきのような値も考えてみた。(b) 扩張された分岐比; $R'_b = \frac{1}{2} \sum_{u=2}^3 (uN_{u-1} + uN_{u-2})/N_u$ (uN_{u-1} , uN_{u-2} はそれぞれ位数 u の河道に直接合流する位数 $u-1$ および $u-2$ の河道数)。(c) 河道長比; $R_L = \frac{1}{2} \sum_{u=2}^3 L_u/\bar{L}_u$ (\bar{L}_u : 位数 u の河道の平均長)。(d) 集水面積比; $R_A = \frac{1}{2} \sum_{u=2}^3 A_u/\bar{A}_u$ (\bar{A}_u : 位数 u の河道の集水面積の平均値)。(e) 河道こう配比; $R_S = \frac{1}{2} \sum_{u=2}^3 S_{u-1}/\bar{S}_u$ (\bar{S}_u : 位数 u の河道こう配の平均値)。表-2 は 85 種のモデルに対するこれらの値を示したもので、同時に j の値も示しておいた。なお、最下欄の平均値は TDCN についてのものである。

3. 合成ピーク計算の条件と方法 ① 流出機構の仮定: Link とそれにつく面積のからなる部分を単位流域とよぶことにし、すべての単位流域からの流出ハイドログラフは同じ降雨条件に対して全く同じとなると仮定する。そこでこれを入力として与え、洪水の流下合流機構を線形とし、合成ハイドログラフは遅れ時間のみを考慮する重ね合わせによって得られるとする。 ② 洪水伝達速度の仮定: 洪水伝達速度 w

が流量 Q と河道こう配 S だけによつて規定されると仮定し、次式のように表わせさせたとした。 $w = C Q S^{0.25 \pm 0.30}$ (2) ($C=1$)。

③ interior link の洪水伝達時間: 流量が集水面積にはほぼ比例すると仮定すると、 $j=j$ のモデルにおける $\nu=\nu$ の m (それは ν 上流にある exterior link の数) の Link 内の平均的な洪水伝達時間 ($T_{v,m}^*$)_j は、(2) 式の関係から、 $(T_{v,m}^*)_j = \left(\frac{2.5}{2m+1.5} \right)^{0.30} \cdot \left(\frac{(A_p)_j}{(A_p)_9} \right) \cdot T_0^*$ (3) と表わせる。ここに T_0^* は $j=9$, $\nu=2$, $m=2$ の Link の洪水伝達時間 (T_0^*)₉ であり、ここでは $T_0^*=5$ (任意の時間単位) とした。

④ 入力ハイドログラフ: 入力ハイドログラフ $g(t)$ としてつきの 3 通りの確率密度関数を用いた。 i) 形状母数 1 のガム分布; $g(t) = t e^{-t/K} / K^2$ (4) (G.D.1), ii) 形状母数 2 のガム分布; $g(t) = t^2 e^{-t/K} / 2K^3$ (5) (G.D.2), iii) 正規分布; $g(t) = e^{-t^2/2\sigma^2} / \sqrt{2\pi}\sigma$ (6) (N.D.)。これらの時間 t の標準偏差 σ_K は、それぞれ、 $\sqrt{2}K$, $\sqrt{3}K$ および σ であり、 σ_K をいろいろ変化させ、入力ハイドログラフ形状の相対的鋭さ σ_K/σ による地形効果の現われ方の程度をも調べることを計った。

⑤ 合成ピークの計算法: まず、各モデルで、すべての node から outlet までの洪水伝達時間 t_i ($i=1, 2, \dots, 9$; i は node 番号で、outlet に近いものほど若い番号をつけた) を求める。これは(3)式の $(T_{v,m}^*)_j$ を node i までの chain に沿って加えればよく、表-3 はこの t_i を j の第 j モデルごとに例示したものである。この t_i を用ひれば、本モデルの outlet における合成ハイドログラフ $Q(t)$ は次式によつて表わされる。 $Q(t) = g(t) + \sum_{i=1}^9 2 \cdot g(t-t_i)$ (7)。この $Q(t)$ の最大値 Q_p やおよびその起時 T_p ($g(t)$ のピーク起時を基準) は、 $g(t)$ が(4), (5) 式の場合には $dQ(t)/dt=0$ の条件から解析的に (ただし、複数のピークが生じることもあるため一度には求められない)、(6) 式

model No.	j	1	2	3	4	5	6	7	8	9
(1)	9	4.54	9.06	13.56	18.03	22.47	26.87	31.24	36.23	36.23
(2)	8	4.33	8.62	12.87	17.07	21.20	25.93	29.93	30.87	30.87
(3)	7	4.12	7.81	12.04	16.68	16.68	19.34	21.34	23.67	23.67
(4)	6	3.86	6.31	9.35	12.24	12.24	17.34	17.34	22.59	22.59
(5)	5	3.57	7.44	9.94	11.89	11.89	12.38	16.53	16.53	17.03

表-1 Link のこう配

($A_p)_j$ (unit: $mm^2 \times 10^{-2}$)	1	2	3	4	5	6	7	8	9
5.38	7.22	6.16	12.55	10.2	-	-	-	-	-
6.35	6.20	14.48	13.92	13.92	-	-	-	-	-
7.31	5.60	11.26	12.76	7.79	8.43	-	-	-	-
8.31	5.16	4.13	10.18	2.28	6.99	6.08	5.36	-	-
9.30	1.17	6.12	5.99	7.92	6.68	5.81	5.12	4.58	-

表-2 各モデルの Horton 数

model No.	R_b	R'_b	R_L	R_A	R_S	j
1	3.50	5.00	4.00	4.67	2.04	9
2	"	4.75	2.75	4.38	2.16	9
3	"	4.25	2.45	4.20	2.26	9
4	"	4.25	2.05	4.59	2.35	9
5	"	"	"	2.17	6.9	9
6	"	"	"	"	2.27	8
7	"	"	"	"	2.27	8
8	"	"	"	"	2.27	8
9	"	"	"	"	2.27	8
10	"	3.75	2.04	5.19	2.52	7
11	"	"	"	"	2.35	8
12	"	"	"	"	2.21	7
13	"	3.50	2.13	5.56	2.59	9
14	"	"	"	"	2.43	7
15	"	"	"	"	2.35	7
16	"	"	"	"	2.15	6
17, 18, 21, 28, 41	3.17	4.50	3.50	4.67	1.96	8
19, 22, 29, 42	"	4.17	2.54	4.43	1.88	7
20, 23, 30, 43	"	"	"	"	2.09	8
24, 25, 27, 32, 34, 45, 47	"	3.84	2.04	4.36	2.42	7
26, 28, 36	"	"	"	"	2.03	9
31, 44	"	"	"	"	1.81	6
35, 37, 40, 50, 53	"	3.50	1.75	4.40	2.11	7
36, 38, 48, 49, 51	"	"	"	"	1.93	6
39, 52	"	"	"	"	2.30	8
54, 59, 61	"	3.17	1.60	4.51	1.71	7
55	"	"	"	"	1.61	6
56, 62	"	"	"	"	2.04	6
57	"	"	"	"	1.86	5
60	"	"	"	"	2.39	8
63, 64, 65, 70	3.25	4.00	3.00	4.67	1.87	7
64, 67, 71, 72, 75, 76	"	3.63	2.23	4.47	1.81	6
68, 73, 77	"	"	"	"	2.02	7
78, 79	"	3.25	1.75	4.38	1.74	5
80, 81, 82, 84	"	"	"	"	1.93	6
85	"	3.50	2.50	4.66	1.81	6
mean	3.31	3.81	2.3	4.66	2.15	-

表-3 T_i の例 ($T_0^*=5$ arbitrary time unit)

model No.	j	1	2	3	4	5	6	7	8	9
(1)	9	4.54	9.06	13.56	18.03	22.47	26.87	31.24	36.23	36.23
(2)	8	4.33	8.62	12.87	17.07	21.20	25.93	29.93	30.87	30.87
(3)	7	4.12	7.81	12.04	16.68	16.68	19.34	21.34	23.67	23.67
(4)	6	3.86	6.31	9.35	12.24	12.24	17.34	17.34	22.59	22.59
(5)	5	3.57	7.44	9.94	11.89	11.89	12.38	16.53	16.53	17.03

表-4 計算結果と考察 ① 入力ハイドログラフ形状の鋭さと地形効果の現われ方の程度の関係: 前述のように入力 $g(t)$ の相対的鋭さの尺度としては σ_K/σ を選んだが、地形効果の現われ方の程度を示す尺度としては、85 種のモデルの同じ入力に対する各合成ピーク Q_p のうちの最大値 Q_{pmax} と最小値 Q_{pmin} の比 Q_{pmax}/Q_{pmin} を選んだ。図-2 はこれらの関係を示すものであるが、予想通り σ_K/σ が大きいほど (入力が偏平なほど) 地形効果の現われ方の程度が小さくなることがわかる。ここで問題なのは、自然流域の σ_K/σ に相当するものがどの程度かということである、この点を若干のデータに基づいてごく大ざかに検討したところによると、それは、流域面積が大きいほど

小さくなる可能性が大で、
数100km²の流域で、小さくて
3程度のようである。

2) ミクロにみた Horton数の
効果: 図-3は85種のモデル
に同一の入力を与えた場合
の、それぞれの合成ピーク
とその起時の一例を示した
ものであり、それが図-2

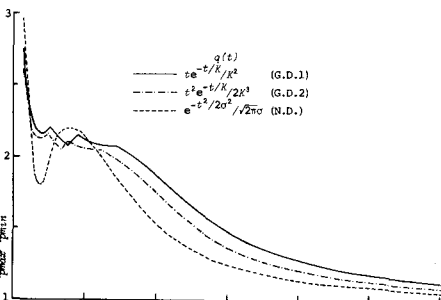


図-2 Q_p/Q_{pmin} と t_p/t_{pmax} の関係

のピークおよび底によって無次元化してある。これらのプロットは5つのグループを形成しており、その共通点はさて、 Q_p/Q_{pmin} が大きいグループほどが小さくなっている(この傾向は入力条件を変えてても同様である)。このことは、出水ピークおよびその起時に對して、 j の効果すなわち、従来知られている最長流路長(jL)とその平均こう配(H/jL)の相乗効果が大きく現われることを示している。よって、ミクロにみた Horton数の効果は j が大きいという条件のもとで探る必要がある。そこで、 $j=8$ のグループ(図中下から2番目)を見てみると、たとえばモデル番号17, 18, 21, 28 および 41 の Q_p/Q_{pmin} はこのグループのスケールからみて相当大きくなっている。ところが表-2に示すように、これらのモデルの Horton数は全く同じ組合せになってしまっている(このような例は他にも多くある)。このことは、このようなグループ内のスケールでは、個々の Horton数はもちろん、すべての Horton数の組合せを元、出水ピークに及ぼす明確な(あるいは一義的な)効果はないということを意味する。

3) マクロにみた Horton数の効果: 上記の結果より、つぎのようなことを試みた。すなわち、 j の等しいグループごとに、個々の Horton数の期待値 \bar{R}_b , \bar{R}_b' , \bar{R}_s , \bar{R}_a , \bar{R}_s (まとめて \bar{R}_* と表わす)と、 Q_p/Q_{pmin} の期待値 \bar{Q}_p/Q_{pmin} を求め、 \bar{R}_* と \bar{Q}_p/Q_{pmin} の関係を調べてみた。ここで、期待値と称するのは TDCN の確率性を仮定してその重みをついた平均をとったからである。図-4はその結果の一例を示したものであり、すべての \bar{R}_* について、それが小さいほど \bar{Q}_p/Q_{pmin} が大きい(すなわち)といふ関係になっている。なお、 \bar{Q}_p/Q_{pmin} と \bar{R}_* との関係は図-4に示すようにほぼ逆比例の関係にあることから、 \bar{R}_* とピーク起時の期待値 \bar{t}_p/t_{pmax} の関係は自明であろう。このような関係をマクロにみた Horton数の効果と称するならば、従来いわれている R_b の効果と、ここで得られた効果とは同じ関係になってしまっており、それは、 R_b が小さい流域は j すなわち最長流路長が小さくなることが期待され、その結果、出水ピークが大きくかつ早くなることが期待される解釈すべきであろう。

参考文献 1) たとえば、Chow, V.T.: Handbook of Applied Hydrology, McGraw-Hill Book Co., Section 4-II, 1964. 2) Smart, J.S.: Channel Networks, Advances in Hydroscience, 8, pp.305~335, 1972. 3) Shreve, R.L.: Infinite Topologically Random Channel Networks, J. Geol., 75, pp.179~186, 1967. 4) Yang, C.T.: Potential Energy and Stream Morphology, Water Resources Research, Vol.7, No.2, pp.311~327, 1971.

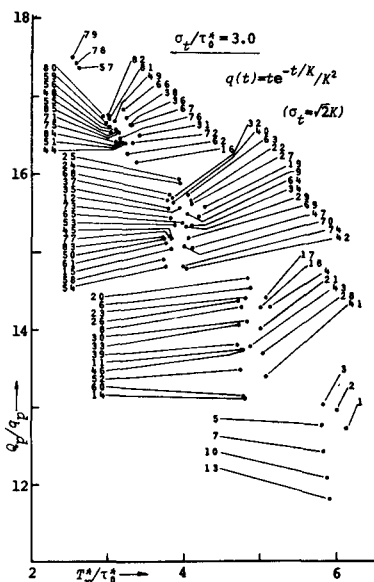


図-3 ピーク流量とその起時の一例
(数字はモデル番号)

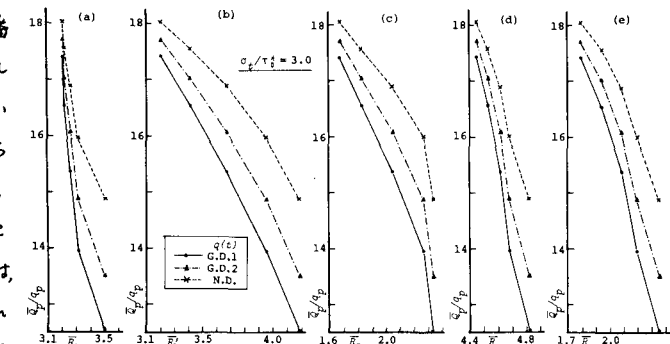


図-4 マクロにみた Horton数の効果の一例

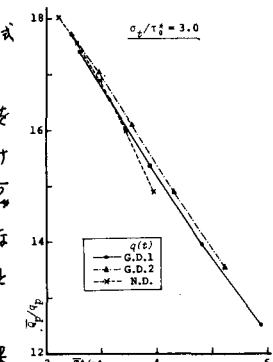


図-5 Q_p/Q_{pmin} と t_p/t_{pmax} の例